

梁 晓 天 編 譯

# 核磁共振光譜 解析簡論

科学出版社

# 核磁共振光譜解析簡論

梁曉天 編譯

科  
學  
出  
版  
社

1964

## 內 容 簡 介

本书系根据 J. D. 罗伯茨 (Roberts) 原著“高分辨率核磁共振光谱中自旋裂分的分析引論 (An Introduction to the Analysis of Spin-Spin Splitting in High-Resolution NMR Spectra, Benjamin Book Co., New York, 1961)”一书編譯而成。該书主要介紹如何用量子力学处理核自旋能态及其跃迁，闡述了自旋裂分的定量原理，并指出自旋裂分的計算并不困难。編譯者对該书內容作了一些补充和修改，希望通过这些增删使讀者能更容易地掌握书中所介紹的各种系統。书中尚列出一些习題。本书可供从事有机合成的科学硏究与教学人員(有机化学、药物化学、化工及医药工业等方面)以及有关专业的大专毕业生参考之用。

## 核磁共振光譜解析簡論

梁曉天 編譯

\*

科學出版社出版

北京朝阳門大街 117 号

北京市書刊出版业营业許可証出字第 061 号

上海市印刷五厂印刷

新华书店北京发行所发行 各地新华书店經營

\*

1964 年 10 月 第一 版 开本：850×1168 1/32

1964 年 10 月第一次印刷 印張：3 5/8

印数：0,001—5,300 字数：91,000

统一书号：13031·1958

本社书号：3012·13—3

定价：[科七] 0.65 元

## 編譯者序

高分辨度核磁共振光譜在化学上的用途很广，由光譜得出的化学位移及偶合常数等数据可以說明化学結構中的許多問題。但在相当多的情况下，从一个共振譜并不能直接地讀出偶合常数之值，也难于估計化学位移，而必須通过計算方可。要对一个共振譜进行比較成熟的解析，須具有一定的計算知識。本书即为此目的而作。书中所涉及的数学并不深，但在解答所列的习題时須有耐心。对于一般的化学工作者來說，若只看一遍而不作习題，则很难期望能有什么收益。

本书系根据 Roberts 教授的“An Introduction to the Analysis of Spin-Spin Splitting in High-Resolution NMR Spectra”(1961) 原著編譯而成。編譯者对其內容作了补充与修改，尤其是第三章的改动最大。通过这些增删，希望使讀者能够更容易地掌握书中所介紹的各种系統。

对于一个共振譜的初步解析（尤其是比較复杂的系統），譜短法相當有用。近年来，双照射法很受人重視，有的核磁共振仪已有定型的双照射設備，从而可以大幅度地減輕图譜解析的工作量。編譯者在所增写的第五章里，对于这两个方法作了簡略的介紹。

## 原序

学习量子力学而能付諸实用的人，簡直寥若晨星：“跃迁几率”低得可怜。成千上万的化学专业学生都学到一些量子力学的原理与术语，也能按大家知道的方式談談有关轨道、交盖、自旋等方面。但是，他們很少有人能够計算例如共轭体系的共振能，或核自旋系統的能量。而这些計算有时虽較繁重，所用数学却不出大代数的范畴。

这个情况的产生，我认为一方面固然由于內容本身較为艰深，但另一方面撰写人与讀者双方均有責任。許多作者都似乎是热切希望将知識傳授給初学者，但却忘掉了或竟不知道这个事实：一般的化学专业人員要接受这些新知識頗有困难。当然，要把有关的每步的推导都写清楚并非易事，尤其是当面临討論应用及新进展等引人的前景时，往往即无暇顾及遣辞造句。而讀者又不肯坐下来算些例題或推导一下那怕是最简单的公式，自然困难重重。

作为一个有机合成化学家，竟然要写一本用量子力学处理核自旋能态(即能阶)及其跃迁的书，有的讀者可能认为我未免有些僭越。但我已在別处指出(見美国化学会志，1960，**82**，5767)，我深信所有的化学工作者若能初步掌握自旋裂分(spin-spin splitting)的定量原理，则他們即可于应用核磁共振光譜时兴趣較濃，技巧較高，理解較深。本书的目的在于指出，自旋裂分的实际計算途徑并不困难。不要求讀者具备量子力学或有关的数学知識。但特別重要的是熟悉核磁共振的简单原理，例如为下列二书所包括者：Roberts的“核磁共振”，Jackman的“核磁共振在有机化学方面的应用”(前者有中譯本\*)。考虑到实践对于深刻理解的重要性，本书于适当处所均列出一些习題。必須強調指出，最好于讀到时都作一遍。

本书內容在于示范而不是全面包括。AX 及 AB 系統討論較

\* 見第一章文献[1]。

詳尽，以便說明如何写出核自旋能态，計算其能量以及二态間的跃迁几率。接着又比較了  $AX_2$  及  $AB_2$  的異同，从而可看出为什么譜綫的总数有时可以超过干扰因素的数目。在  $ABX$  系統中曾指出一个重要事實：甚至在  $J_{AX}$  等于零之时，其中的 X 看起来仍似与 A 有偶合現象。偶合常数 J 的正負符号的变化对于光譜的影响亦曾討論。最后討論了  $J_{AX} \neq J'_{AX}$  的  $A_2X_2$  系統，可以看出即令  $(\nu_A - \nu_X) \gg J_{AA}$  或  $J_{XX}$ ，后二者仍对光譜有影响。

群論在簡化某些复杂自旋系統(有某种程度的对称性)的能态波函的处理問題上很有用，但本书将不涉及，其理由如下：第一，群論的应用需要先解說許多不常見的数学运算。第二，群論仅为数学捷徑之一，并无助于自旋裂分的理解。第三，計算复杂系統的跃迁能量及强度，已有电子計算机的运算程序，从而大大減低了运算捷徑的需要。(下略)

John D. Roberts

# 目 录

編譯者序.....	v
原序 .....	vii
第一章 引言 核磁共振吸收光譜.....	1
1-1. 核磁共振吸收光譜.....	1
1-2. 化学位移.....	4
1-3. 自旋裂分的簡略原理.....	5
第二章 量子力学法处理两个核的自旋干扰.....	21
2-1. AX 系統的簡略處理.....	21
2-2. A <sub>2</sub> 系統的簡略處理及定量處理 .....	25
2-3. AB 二旋系統的定量處理 .....	41
第三章 三旋系統.....	52
3-1. AMX 及 AX <sub>2</sub> 系統.....	54
3-2. AB <sub>2</sub> 系統.....	57
3-3. ABX 系統 .....	65
3-4. ABC 系統 .....	73
第四章 A <sub>2</sub> X <sub>2</sub> 四旋系統 .....	86
4-1. A <sub>2</sub> X <sub>2</sub> 系統 .....	86
第五章 譜矩法及双照射法.....	94
5-1. 譜矩法.....	94
5-2. 包含两种不同的核的孤立基群.....	96
5-3. 包含三种不同的核的孤立基群.....	98
5-4. 几个基群的譜矩.....	100
5-5. 双照射法.....	101
附录 习題 1-4 的答案.....	T08

# 第一章 引言 核磁共振吸收光譜

液体有机化合物(或固体的溶液)中的氫核可以产生很简单或很复杂的核磁共振(nuclear magnetic resonance, 縮寫 NMR)光譜。一般而言，光譜的复杂程度取决于：类型不同的氫的数目，相距較近的氫之間的自旋干扰，以及不同的氫之間的交換作用<sup>[1]</sup>。在許多情况下，自旋干扰对于譜綫的裂分是复杂化的主要原因。通过解析复峰及譜綫强度，可以有助于猜测结构特征，为此須对原理有所了解方可。

目前常用的解析法为 McConnell 等<sup>[2]</sup>所首創，以后又为他人所发展<sup>[3-5]</sup>。可惜的是，他們用了分子光譜学家的语言，因而不易为有机化学工作者所掌握，而后者却正是这种理論的最重要的潜在市場。

本书目的在于描述一个关于自旋量子数为  $1/2$  的核相互裂分的簡化理論，(1)使讀者能进一步閱讀专著<sup>[3-5]</sup>，(2)打下牢固的理論基础，俾可采用非数学式的說理方式<sup>[3, 6]</sup>。不可避免地必須涉及量子力学中的一些概念及数学，但均尽可能用有机化学工作者所熟悉的語言。首先将简单地描述核磁共振的吸收，但重点与前书<sup>[1]</sup>不同——侧重于自旋裂分的理解，而不在于核磁共振仪的如何使用。

## 1-1. 核磁共振吸收光譜

許多原子核的性质与旋转的带电物体相同，电荷的轉动产生磁矩，其方向与旋转軸一致。有机化学工作者感到兴趣的一些原子核( $H^1$ ,  $C^{13}$ ,  $N^{15}$ ,  $F^{19}$ )，其自旋量子数( $I$ )为  $1/2$ 。这就是說，它們的磁矩在任何方向仅有二个可观測的数值，大小相等而方向相反，相当于磁量子数  $+1/2$  及  $-1/2$ 。因此，若将原子核置于磁场之中，磁场方向与  $z$  軸一致，则一部分的核与磁场順向排列

( $I_z = -1/2$ )\*, 而另一部分与磁场相抗 ( $I_z = +1/2$ ). 能量较低的能阶应与磁场顺向排列, 有如指南针与地磁的关系. 当然, 能阶间的差距  $\Delta E$  应与核所受磁场  $H$  的强度成正比, 并等于  $\gamma \hbar H$ , 其中  $\hbar$  代表  $h/2\pi$  ( $h$  为 Planck 常数), 比例常数  $\gamma$  为各种核的特征数值 ( $H^1$ ,  $O^{16}$ ,  $N^{15}$  等<sup>[1, 3]</sup>).

在理论上, 我们显然可以改变磁场  $H$  的强度, 从而任意调节

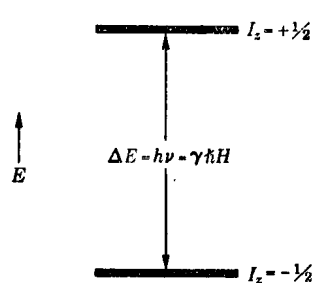


图 1-1 一个自旋量子数为  $1/2$  的原子核在磁场  $H$  中的能阶值

$I_z$  等于  $+1/2$  及  $-1/2$  两个能阶间的差距; 但实践所能达到的  $H$  值仍只能使在常温下二个能阶的核的平衡数量几近相等. 其原因在于能阶差距甚微, 核的热运动打乱了顺向排列的趋势, 而按 Boltzmann 定律<sup>[1]</sup>分配.

核磁共振光谱与其他的电磁波吸收光谱一样, 某一跃迁的能量变化 ( $\Delta E$ , 如图 1-1 所示由  $-1/2$  跃迁至  $+1/2$ ) 与所吸收电磁波的频率  $\nu$  有如下的关系:  $\Delta E = h\nu$ . 由于  $\Delta E = \gamma \hbar H$ , 因此

$$\nu = \gamma H / 2\pi$$

若欲观测核磁共振跃迁 (假定它是“许可”的类型), 则需调节照射频率  $\nu$  或核所受的磁场  $H$ , 俾使  $\nu = \gamma H / 2\pi$ . 实践上以固定照射频率  $\nu$  而调节磁场  $H$  比较方便, 使磁场强度数值由小而大, 扫过共振 (吸收能量) 之点. 可以由图 1-2 所示的简单仪器 (假想的) 进行观测. 其中振荡器所产生的照射频率 (通常为无线电波), 作用于玻管所装的样品,  $H_0$  为所用磁场强度. 当核所受磁场 ( $H$ ) 使频率  $\nu$  接近于  $\gamma H / 2\pi$  时, 能量即被吸收. 此时振荡器即产生电流, 显示于所串连的电流计上. 进一步增加  $H$  使  $\nu \ll \gamma H / 2\pi$ , 电流计读数即降至原有的水平 (空白). 能量吸收曲线是  $H$  的函数, 其形状一般如图 1-3 所示, 峰尖所处位置与  $\nu = \gamma H / 2\pi$  相应.

\* 本书以  $I_z = -1/2$  为能量较低的能阶, 与以前<sup>[1]</sup>所用者相反, 但与 Pople 等<sup>[3]</sup>之书一致.  $H$  (磁场) 指向  $z$  轴的负方向.

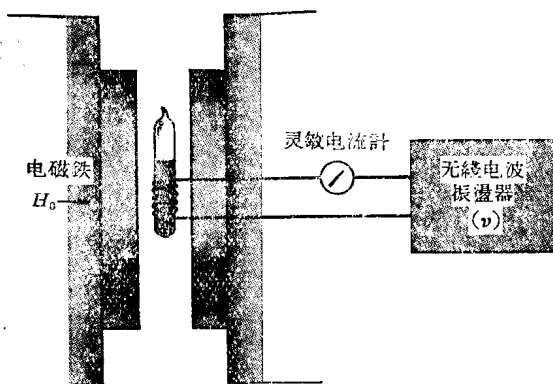


图 1-2 核磁共振仪示意图

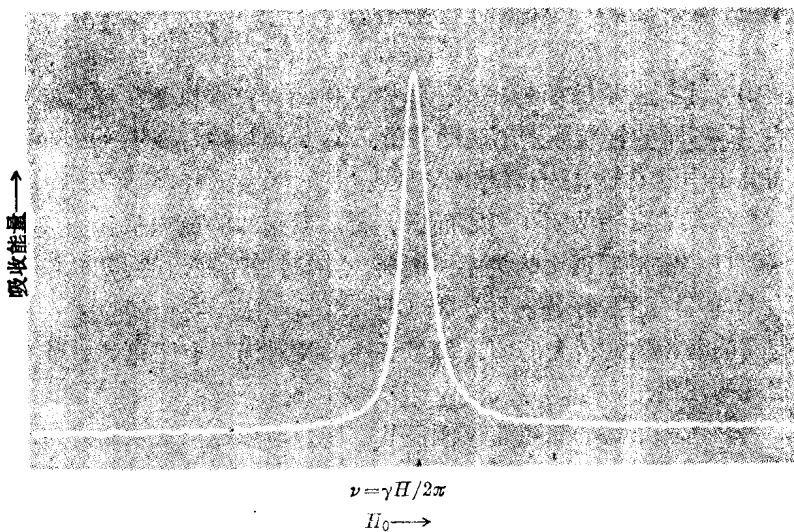


图 1-3 调节磁场  $H$  所得能量吸收曲线

## 1-2. 化学位移

同类型的核(如H<sup>1</sup>)由于在分子中的环境不同而显示不同的吸收峰，峰的差距被称为化学位移<sup>[7]</sup>。化学位移的大小均须以某一标准物的峰为准。质子(H<sup>1</sup>)在从前以水为外标准；目前以四甲基硅为常用标准，与样品混在一起后作为内标准<sup>[8]</sup>。

化学位移起源于核附近的电子在外加磁场作用下的运转，所产生的磁场可抵消一部分外加的磁场(屏蔽效应)，其程度因化学结构而异。这些效应与外加磁场H<sub>0</sub>成严格的正比关系，因此在某H<sub>0</sub>时，二个核A及B的化学位移差距(δ<sub>AB</sub>H<sub>0</sub>)可由下式表示，其中σ<sub>A</sub>及σ<sub>B</sub>为二核的屏蔽常数：

$$\delta_{AB}H_0 = \sigma_A H_0 - \sigma_B H_0 = (\sigma_A - \sigma_B) H_0 \quad (1-1)$$

因为各种仪器所用磁场H<sub>0</sub>有大有小，以δ<sub>AB</sub>表示化学位移的差距非常有用(与H<sub>0</sub>无关)。测量谱线位置一般多用周/秒作单位。若A及B二峰相隔n周/秒，则

$$\delta_{AB} = n/\nu$$

其中ν为振荡器的照射频率。通常δ值的计算多以某一标准峰为零点，不同的标准导致不同的δ值。关于F<sup>19</sup>, O<sup>13</sup>, N<sup>14</sup>, O<sup>17</sup>在不同分子中的δ值，已有详尽的表<sup>[3, 6]</sup>。

就某化合物的质子光谱而言，每一起振峰的面积与其相应的氢数目非常接近正比的关系。例如，乙醇可显示三组峰，其面积比为1:2:3。这些峰分别与OH, CH<sub>2</sub>, CH<sub>3</sub>相应，可由同位素法及与别的醇相比较得到证明。测量各峰的相对面积有明显的定性及定量的用途。

若不测量峰的面积而仅测量其高度，当各峰形状不同时可引起很大的误差。峰形受许多因素的影响，同一样品亦可显示很不同的峰形<sup>[3]</sup>。

**习题1-1** 图1-4为60兆周所得2-甲基-4-羰基-2-戊醇的核磁共振光谱，以四甲基硅为内标准，不用溶剂。计算每个峰的δ值(以四甲基硅为原点)，并计算τ值。τ值的定义<sup>[8]</sup>为10-[与四甲基硅的化学位移差距(周/

秒)/振蕩器頻率(周/秒)] $\times 10^6$ , 其單位為百萬分之一(ppm). 利用峰面積的粗略估計及化學位移數據<sup>[1,6]</sup>, 鑑別各峰的歸屬.

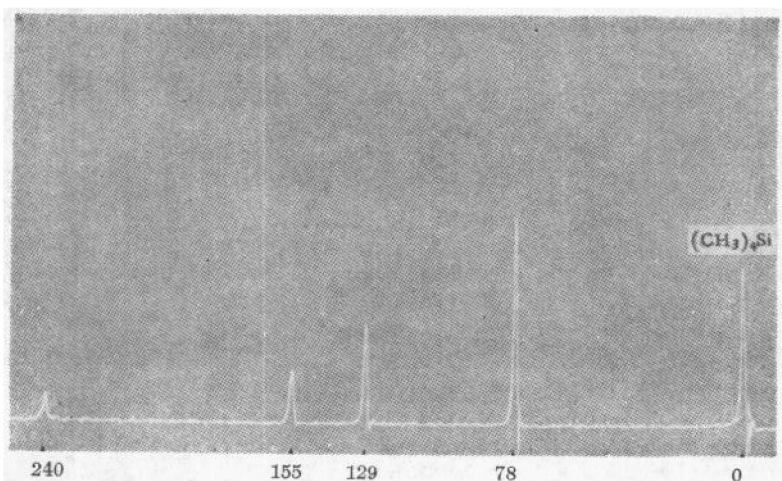


图 1-4 2-甲基-4-戊基-2-戊醇的核磁共振光譜, 60 兆周,  
四甲基硅为內标准

### 1-3. 自旋裂分的簡略原理

有機化合物中相鄰碳上的氫原子, 例如乙基衍生物  $\text{CH}_3\text{CH}_2\text{X}$  ( $\text{X} \neq \text{H}$ ), 於相應的化學位移處出現複峰. 但每一複峰均有細微結構, 系由“自旋裂分”<sup>[10]</sup> 所致. 典型的例子是碘乙烷 (圖 1-5), 甲基與次甲基有相應的兩組複峰. 核自旋的相互作用將兩組峰分為四重峰及三重峰, 卽所謂“一級”效應. 但各小峰又被裂分而得細微結構, 卽所謂“二級”效應. 化學位移極易識別, 因為兩組峰的差距與外加磁場  $H_0$  成正比. 與此相反, 一級裂分的大小與磁場強度無關 (至少在化學位移差距較大時是這樣), 因而也易于識別. 二級裂分與磁場強度有關, 以後將再論及, 此處不再多談.

**习題 1-2** 图 1-6 为乙醛二縮乙醇的光譜, 60 兆周, 四甲基硅內标准. 計算各譜綫于 30 兆周時的相對位置.

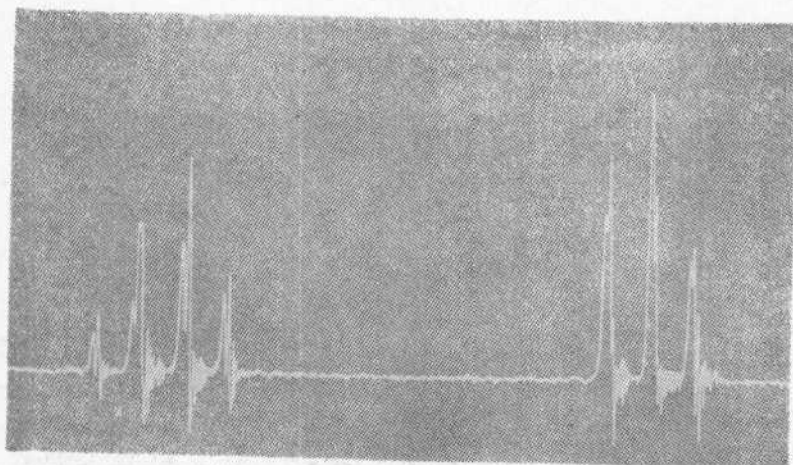


图 1-5 碘乙烷的核磁共振光谱, 60 兆周

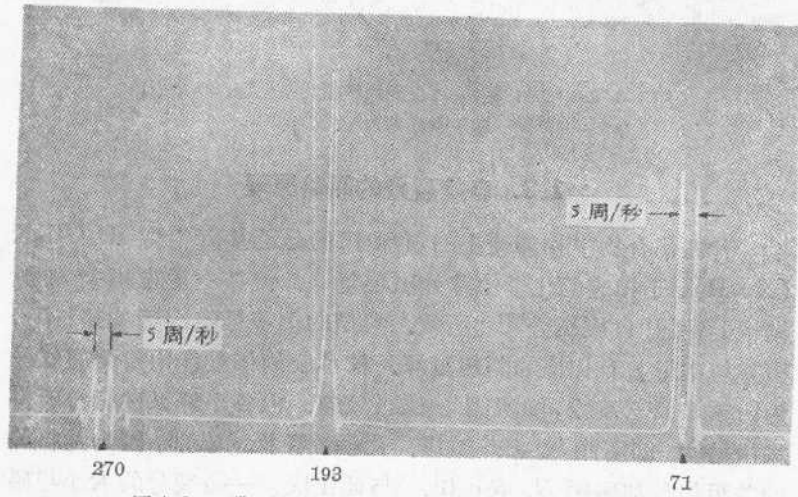


图 1-6 乙醚二缩乙醇的光谱, 60 兆周, 四甲基硅为内标准

邻近原子核的磁矩, 通过成键电子可使某一原子核所实受的磁场发生特定的改变, 因此所产生的一级裂分与外加磁场的大小无关<sup>[1,3]</sup>. 茲假定有一原子核受照射后发生跃迁, 而该核有一个质子与之相邻. 该核所实受的磁场将有两个数值, 取决于相邻质子

的磁量子数  $I_z$  是  $+1/2$  或  $-1/2$ . 相邻质子的磁场因而可以加强或减弱外加磁场的原有数值. 核磁矩的大小与外加磁场无关, 因此质子对该核吸收谱线的影响亦与外加磁场无关.

用同位素法可以证明乙基谱线所显示的三重峰及四重峰起源于甲基与次甲基上两种氢之间的相互作用. 氢的磁矩比氢的小得多, 当甲基上有一个氢被置换为氘时, 次甲基即显示三重峰(但由于氘磁矩的影响而稍有加宽现象), 当甲基上两个氢被置换为氘时, 次甲基即显示双峰. 双峰起源于所剩余的一个氢的裂分作用. 在这个较单纯的情况下, 复峰的谱线条目等于  $n+1$ , 其中  $n$  为相邻碳上氢的数目. 相仿的例子可参看文献[1, 3, 6]. 次甲基的氢被甲基的氢裂分为四重峰, 但次甲基上两个氢相互之间却无干扰, 此点将于以后详加说明. 在此仅须指出, 同类的氢一般不相互裂分. 例如,  $\text{H}_2$ ,  $\text{CH}_4$ ,  $\text{C}_6\text{H}_6$  等分子都仅显示单峰.

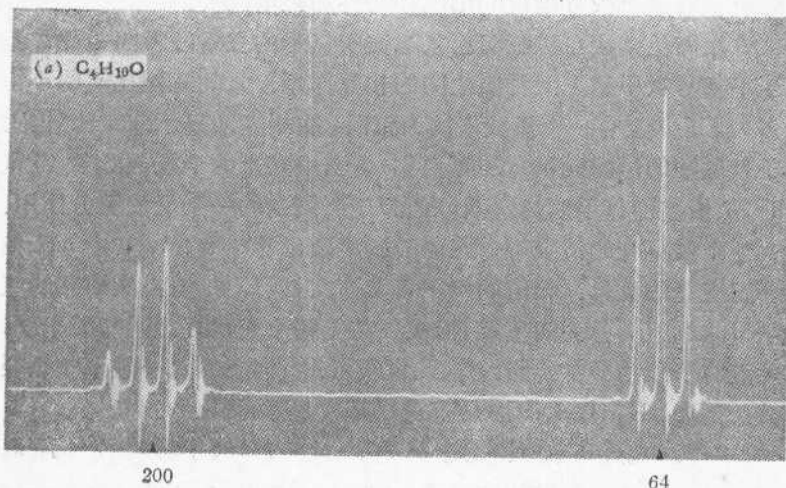
一般的说, 一个质子对于另一个(或一群)质子影响的大小, 取决于二者之间化学键的数目与类型, 以及立体化学的关系. 在饱和体系中, 同碳上的氢裂分大小约为 15 周/秒, 邻碳上的氢裂分大小为 5—8 周/秒, 再远时裂分即基本上等于零. 有受阻的内旋转或有双键的情况下, 会出现差异很大的裂分<sup>[1, 3, 6, 11, 12]</sup>.

当化学位移的差距比裂分大很多时, 复峰中各谱线条的强度遵从一些简单的规律<sup>[13]</sup>. 裂分所得谱线条的强度亦将于以后重新论及.

**习题 1-3** 尝试大致描绘下列各化合物在 60 兆周时的光谱: (1) 甲基乙酸, (2) 1-氯-1-碘乙烯, (3) 异丁烯, (4) 三氟甲烷, (5) 苯乙酮二缩乙醇<sup>[14]</sup>.

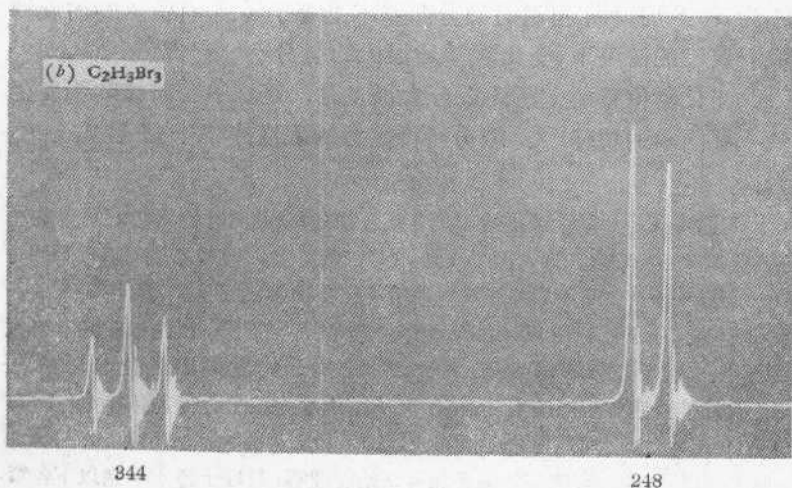
**习题 1-4** 图 1-7 各光谱均采用纯化合物(除个别注明者外), 大多于室温观测. 质子光谱用 60 兆周, 化学位移单位为周/秒, 以内标准四甲基硅为原点. 氟光谱用 56.4 兆周. 尝试从光谱及分子式推导出各化合物的结构. 最好能说明各组峰及主要谱线条的归属. 以水为标准所得  $\delta$  值 (ppm)<sup>[1, 3]</sup>, 于加上 5.2 之后, 可以粗略地换算成以四甲基硅为准的  $\tau$  值<sup>[6, 8]</sup>. 光谱的排列顺序由易到难. 有些裂分须多加考查始能理解, 最好于每次学完以下各章之后, 重新回顾本题的答案.

图 1-7 核磁共振光谱用于有机定性分析的例题



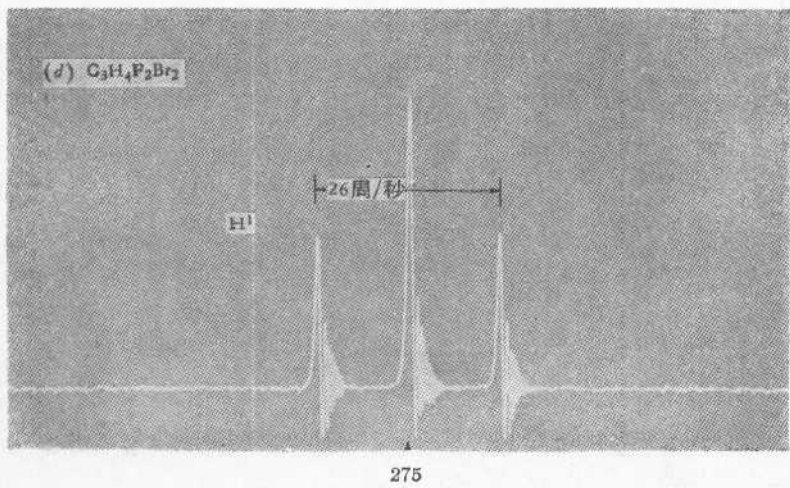
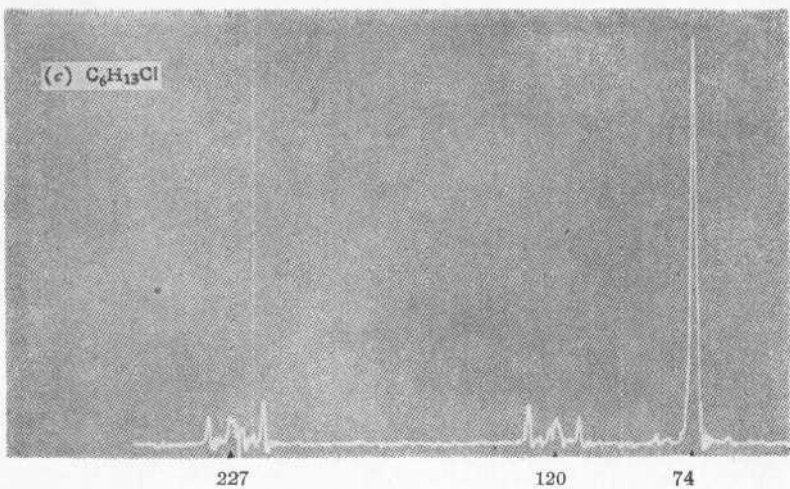
200

64



344

248



(e)  $C_2H_6O_3S$

215

(f)  $C_5H_{12}O$

300

207

67